

地球变化电磁场异常的解释

[苏] M.H.别尔季切夫斯基 著
M.C.日丹诺夫

曾治权 译
刘祖滨

地质出版社

内 容 简 介

本书阐明了深部地电学的理论基础，研究了地球内部电磁感应的模型，叙述了地球电磁场异常的分析和解释方法，这些方法能给出有关地球内部状况及其中进行过程的重要信息。书中列举了解释典型电磁异常的若干实例。

本书读者对象为生产和科研单位的地球物理学工作者，对于高等院校有关专业的高年级学生也是有用的。

地球变化电磁场异常的解释

M. H. 别尔季切夫斯基 著
〔苏〕 M. C. 日丹诺夫 编
曾治权 译
刘祖滨 译

*

地质矿产部书刊编辑室编辑

责任编辑：张怀素 曹玉

地质出版社出版

(北京西四)

地质出版社印刷厂印刷

(北京海淀区学院路29号)

新华书店北京发行所发行 全国新华书店经售

*

开本：850×1168 1/32 印张：11 1/2 字数：295,000

1985年1月北京第一版·1985年1月北京第一次印刷

印数：1—2,690 册 定价：3.25元

统一书号：15038·新1035

目 录

序言	
主要符号	
第一篇 电磁场方程和薄层上的边界条件	1
第一章 电磁场方程	1
§ 1 场方程	1
§ 2 场方程的矩阵表示	5
第二章 电磁场中的薄层和导电薄膜	9
§ 3 薄的非均匀层	9
§ 4 用导电薄膜逼近薄层	18
第二篇 地球内部电磁感应的基本模型	25
第三章 地球的球对称模型	25
§ 5 地球的电磁激发	25
§ 6 正常的地电模型及其波谱阻抗	33
第四章 平面水平均匀的地球模型	38
§ 7 平面模型中的正常电磁场	38
§ 8 层状均匀模型	43
§ 9 大地电磁测深（吉洪诺夫-坎亚尔方法）	48
§ 10 频率域的分类	54
第五章 平面水平的非均匀地球模型	58
§ 11 电磁异常及其分类	58
§ 12 地表异常的模拟	60
§ 13 深部异常的模拟	74
第三篇 传递函数理论	104
第六章 电磁场的代数类	104
§ 14 作为电导率函数的传递函数	104
§ 15 电磁场代数类的概念	105

§ 16 代数类的例子	106
§ 17 作为特征矢量的线性变换的电磁场	109
第七章 大地电磁算子及其矩阵	112
§ 18 大地电磁算子	112
§ 19 具有空间 A_3 类中的大地电磁矩阵	114
§ 20 具有空间 A_2 类中的大地电磁矩阵	118
§ 21 具有空间 A_1 类中的大地电磁矩阵	119
第八章 感应算子及其矩阵	120
§ 22 感应算子	120
§ 23 具有空间 A_3 类中的感应矩阵	122
§ 24 具有空间 A_2 类中的感应矩阵	124
§ 25 具有空间 A_1 类中的感应矩阵	126
第九章 用作地球电磁场的大地电磁矩阵和感应 矩阵	128
§ 26 利用代数类的模型场逼近天然电磁场	128
§ 27 大地电磁矩阵的傅立叶变换	134
§ 28 大地电磁矩阵和感应矩阵的图解表示	136
第四篇 电磁场的分析和变换	142
第十章 地球电磁场区分成外源部分和内源部分	142
§ 29 频谱处理法（高斯-施密特方法）	142
§ 30 空间处理法（克尔茨方法）	151
§ 31 斯特雷通-丘的积分公式	160
§ 32 斯特雷通-丘型积分	166
§ 33 克尔茨的推广的方法	180
第十一章 地球电磁场区分成正常部分和异常部分	184
§ 34 频谱处理法（高斯-施密特方法的推广）	184
§ 35 空间处理法（克尔茨方法的推广）	194
第十二章 地球电磁场的异常区分成地表部分和 深部部分	197
§ 36 频谱处理法（高斯-施密特方法的推广）	197
§ 37 空间处理法（克尔茨方法的推广）	221
第十三章 电磁场的解析延拓	224

§ 38 作为解析函数的电磁场	224
§ 39 电磁场解析延拓的一般原理	228
§ 40 地电问题中电磁场解析延拓的形式	239
§ 41 借助于格林函数的频谱展开解析延拓电磁场	241
第十四章 电磁场的变换	254
§ 42 作为线性滤波的电磁场的区分和延拓	254
§ 43 电磁场变换 (ТЭМП) 的系统	265
§ 44 借助于列线图变换电磁场	268
第五篇 电磁异常的解释	274
第十五章 正常地电剖面的确定	274
§ 45 深部电磁测深结果的归一化	274
§ 46 借助于场的解析延拓确定正常地电剖面	280
第十六章 地表异常的解释	284
§ 47 近地表层积分电导率的确定 (施穆克方法的推广)	284
§ 48 地表异常解释的实际经验	293
第十七章 深部异常的解释	298
§ 49 深部电磁剖面法的反演问题	298
§ 50 深部非均匀性的圈定	300
§ 51 深部非均匀性形状的还原 (缩并迴路法)	314
§ 52 深部非均匀性地电剖面的还原	329
§ 53 深部异常解释的实际经验	332
结语	341
参考文献	343

第一篇 电磁场方程和薄层 上的边界条件

第一章 电磁场 方 程

§ 1. 场 方 程

在各向同性介质中，电磁场满足麦克斯韦方程组：

$$\text{rot } \mathbf{H} = \sigma \mathbf{E} + \epsilon \frac{\partial \mathbf{E}}{\partial t} + \mathbf{J}^{ct},$$

$$\text{rot } \mathbf{E} = -\mu \frac{\partial \mathbf{H}}{\partial t}, \quad (1.1)$$

$$\text{div } \mu \mathbf{H} = 0,$$

$$\text{div } \epsilon \mathbf{E} = q + q^{ct},$$

式中 \mathbf{E} 、 \mathbf{H} 为电场和磁场； σ 、 ϵ 、 μ 分别为介质的电导率、介电常数和磁导率； q 是自由电荷的密度； \mathbf{J}^{ct} 、 q^{ct} 为外部电流和电荷的密度。

\mathbf{J}^{ct} 和 q^{ct} 相互之间的关系由连续性方程

$$\text{div } \mathbf{J}^{ct} = -\frac{\partial q^{ct}}{\partial t} \quad (1.2)$$

约束。

介质的电导率与它的电阻率成反比： $\sigma = \frac{1}{\rho}$ 。

借助于欧姆定律，传导电流密度由电场表示为：

$$\mathbf{J} = \sigma \mathbf{E} \quad (1.3)$$

我们限定研究非磁性介质，因此采用

$$\mu = \mu_0 = 4\pi \cdot 10^{-7} \text{ 亨利/米},$$

式中 μ_0 为真空的磁导率

在 σ 和 ϵ 为常数的区域内，电场 E 和磁场 H 满足方程组：

$$\operatorname{rot} \operatorname{rot} E + \mu_0 \epsilon \frac{\partial^2 E}{\partial t^2} + \mu_0 \sigma \frac{\partial E}{\partial t} = - \frac{\partial J^{ct}}{\partial t} \quad (1.4)$$

$$\operatorname{rot} \operatorname{rot} H + \mu_0 \epsilon \frac{\partial^2 H}{\partial t^2} + \mu_0 \sigma \frac{\partial H}{\partial t} = \operatorname{rot} J$$

在 σ 和 ϵ 的间断面上，磁场 H 和电场 E 的切向分量是连续的。

在理想导体的表面上，电场 E 的切向分量和磁场 H 的法向分量等于零。在无限远处，电磁场消失，同时满足正则性条件和辐射条件。

在时间上缓慢变化的场是我们研究的对象。在这种场的方程组中可以忽略对时间的二阶导数 $\frac{\partial^2}{\partial t^2}$ ，这个模型称为似稳模型，我们将只研究似稳模型。似稳的电磁场用方程组写作：

$$\operatorname{rot} H = \sigma E + J^{ct};$$

$$\operatorname{rot} E = - \mu_0 \frac{\partial H}{\partial t};$$

$$\operatorname{div} H = 0;$$

$$\operatorname{div} E = - \frac{1}{\sigma} \left(E \cdot \operatorname{grad} \sigma - \frac{\partial q^{ct}}{\partial t} \right). \quad (1.5)$$

在电导率为常数的区域内，

$$\operatorname{rot} \operatorname{rot} E + \mu_0 \sigma \frac{\partial E}{\partial t} = - \mu_0 \frac{\partial J^{ct}}{\partial t}; \quad (1.6)$$

$$\operatorname{rot} \operatorname{rot} H + \mu_0 \sigma \frac{\partial H}{\partial t} = \operatorname{rot} J^{ct}.$$

借助于傅立叶变换可以把被研究的电磁场表示成谐和场之和的形式，该谐和场对时间的依赖关系用因子 $e^{-i\omega t}$ 来表现。似稳场的谐和函数满足方程组。

$$\begin{aligned}\operatorname{rot} \mathbf{H} &= \sigma \mathbf{E} + \mathbf{J}^{ct}; \\ \operatorname{rot} \mathbf{E} &= i\omega \mu_0 \mathbf{H}; \\ \operatorname{div} \mathbf{H} &= 0;\end{aligned}\tag{1.7}$$

$$\operatorname{div} \mathbf{E} = -\frac{1}{\sigma} (\mathbf{E} \cdot \operatorname{grad} \sigma + i\omega q^{ct}).$$

如果 σ = 常数是真实的，那么方程组 (1.6) 取形式：

$$\begin{aligned}\operatorname{rot} \operatorname{rot} \mathbf{E} - k^2 \mathbf{E} &= i\omega \mu_0 \mathbf{J}^{ct}, \\ \operatorname{rot} \operatorname{rot} \mathbf{H} - k^2 \mathbf{H} &= \operatorname{rot} \mathbf{J}^{ct},\end{aligned}\tag{1.8}$$

式中系数 k 是介质的波数：

$$k^2 = i\omega \mu_0 \sigma.\tag{1.9}$$

k 的值由正的实部选出：

$$k = \sqrt{\frac{\omega \mu_0 \sigma}{2}} (1 + i) = \frac{2\pi}{\lambda} (1 + i).\tag{1.10}$$

式中 λ 是电磁波的波长，按以下公式算得：

$$\lambda = \frac{2\pi \sqrt{2}}{\sqrt{\omega \mu_0 \sigma}}.\tag{1.11}$$

如果在被研究的均匀区域内没有外部电流和外部电荷，则

$$\begin{aligned}\operatorname{rot} \mathbf{H} &= \sigma \mathbf{E}; \\ \operatorname{rot} \mathbf{E} &= i\omega \mu_0 \mathbf{H}; \\ \operatorname{div} \mathbf{H} &= 0; \\ \operatorname{div} \mathbf{E} &= 0.\end{aligned}\tag{1.12}$$

在这种情况下，方程组 (1.8) 简化为亥姆霍兹方程：

$$\begin{aligned}\Delta \mathbf{E} + k^2 \mathbf{E} &= 0; \\ \Delta \mathbf{H} + k^2 \mathbf{H} &= 0.\end{aligned}\tag{1.13}$$

以下我们将只研究谐和场，并且将应用方程 (1.7) 或者 (1.12) 作为出发方程。

如同确定标量场和矢量场的三维导数的算子 grad 、 div 和 rot 一样，我们将采用确定场在表面 Γ 上导数的算子 $\operatorname{grad}^\Gamma$ 、 $\operatorname{div}^\Gamma$ 和 $\operatorname{rot}^\Gamma$ 。

$$\text{grad}^r W = \lim_{\Delta\Gamma \rightarrow 0} \frac{1}{\Delta\Gamma} \oint_L \mathbf{W} \cdot \mathbf{v} dl; \quad (1.14)$$

$$\text{div}^r \mathbf{A}_r = \lim_{\Delta\Gamma \rightarrow 0} \frac{1}{\Delta\Gamma} \oint_L \mathbf{A}_r \cdot \mathbf{v} dl; \quad (1.15)$$

$$\begin{aligned} \text{rot}^r \mathbf{A}_r &= \lim_{\Delta\Gamma \rightarrow 0} \frac{1}{\Delta\Gamma} \oint_L \mathbf{v} \times \mathbf{A}_r dl \\ &= \lim_{\Delta\Gamma \rightarrow 0} \frac{\mathbf{n}}{\Delta\Gamma} \oint_L \mathbf{A}_r \cdot l dl, \end{aligned} \quad (1.16)$$

式中 W 是标量场, \mathbf{A}_r 为矢量场的切向分量, L 是限定表面 Γ 的 $\Delta\Gamma$ 区域的迴路; \mathbf{n} 为对表面 Γ 的法线的单位矢量; \mathbf{v} 为对 L 的外法线的单位矢量, 位于表面 Γ 上; l 为与 L 相切的切线方向的单位矢量 (图 1)。

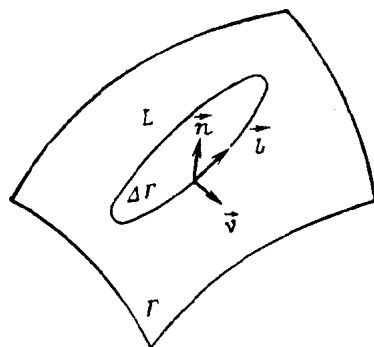


图 1 说明二维算子 grad^r 、 div^r 、 rot^r 的示意图

之间的关系。例如:

$$\begin{aligned} H_n &= \mathbf{n} \cdot \mathbf{H} = \frac{\mathbf{n} \cdot \text{rot}^r \mathbf{E}_r}{i\omega\mu_0} = \frac{\mathbf{n} \cdot \text{rot}^r \mathbf{E}_r}{i\omega\mu_0} \oint_L \\ &= -\frac{1}{i\omega\mu_0} \lim_{\Delta\Gamma \rightarrow 0} \frac{1}{\Delta\Gamma} \oint_L \mathbf{E}_r \cdot l dl \\ &= -\frac{1}{i\omega\mu_0} \lim_{\Delta\Gamma \rightarrow 0} \frac{1}{\Delta\Gamma} \oint_L \mathbf{E}_r \cdot (\mathbf{n} \times \mathbf{v}) dl \\ &= -\frac{1}{i\omega\mu_0} \lim_{\Delta\Gamma \rightarrow 0} \frac{1}{\Delta\Gamma} [\mathbf{E}_r \times \mathbf{n}] \cdot \mathbf{v} dl \end{aligned}$$

矢量 \mathbf{n} 、 \mathbf{v} 、 l 形成右旋系, 即 $\mathbf{n} \times \mathbf{v} = l$, 算子 grad^r 、 div^r 和 rot^r 称为二维算子。

借助于二维算子可以表示电磁场在表面 Γ 上的法向分量 E_n 、 H_n 与切向分量 \mathbf{E}_r 、 \mathbf{H}_r 之

$$= -\frac{1}{i\omega\mu_0} \operatorname{div}^r [\mathbf{n} \times \mathbf{E}^r] \\ = -\frac{1}{i\omega\mu_0} \operatorname{div}^r [\mathbf{n} \times \mathbf{E}]. \quad (1.17)$$

类似地，有

$$\mathbf{E}_s = \mathbf{n} \cdot \mathbf{E} = \frac{\mathbf{n} \cdot \operatorname{rot}^r \mathbf{H}}{\sigma} = -\frac{1}{\sigma} \operatorname{div}^r [\mathbf{n} \times \mathbf{H}^r] \\ = -\frac{1}{\sigma} \operatorname{div}^r [\mathbf{n} \times \mathbf{H}]. \quad (1.18)$$

高斯公式的二维类似具有形式

$$\iint_{\Gamma} \operatorname{div}^r \mathbf{A} \cdot d\mathbf{s} = \oint_{\Gamma} \mathbf{A} \cdot \mathbf{v} dl. \quad (1.19)$$

如果表面 Γ 是封闭的，则得

$$\iint_{\Gamma} \operatorname{div}^r \mathbf{A} \cdot d\mathbf{s} = 0. \quad (1.20)$$

关于二维算子的更详尽的知识读者可以在Л. М. 阿尔平的“场论”（1966年）一书中找到。

§ 2 场方程的矩阵表示

在进行场的积分变换时，我们有时将使用矩阵表示。我们将注意到，矢量代数的基本运算可以利用矩阵符号表示出来[3]。

假设 \mathbf{A} 和 \mathbf{B} 是两个任意的矢量，按照某种正交归一化基 $\{\mathbf{d}_x, \mathbf{d}_y, \mathbf{d}_z\}$ ，它们的展开式具有形式

$$\mathbf{A} = \sum_{\alpha=x,y,z} A_\alpha \mathbf{d}_\alpha; \quad (2.1)$$

$$\mathbf{B} = \sum_{\beta=x,y,z} B_\beta \mathbf{d}_\beta,$$

式中 A_x, A_y, A_z 和 B_x, B_y, B_z 是矢量 \mathbf{A} 和 \mathbf{B} 的标量分量。

我们将通过单位矢的标量积来表示矢量 \mathbf{A} 和 \mathbf{B} 的标量积。这种运算对每一个自变量是线性的。因此，

$$\mathbf{A} \cdot \mathbf{B} = \sum_{\alpha=x,y,z} \sum_{\beta=x,y,z} A_\alpha B_\beta \mathbf{d}_\alpha \cdot \mathbf{d}_\beta.$$

由于矢量 \mathbf{d}_x 、 \mathbf{d}_y 、 \mathbf{d}_z 的正交性，因而具有

$$\mathbf{d}_\alpha \cdot \mathbf{d}_\beta = \delta_{\alpha\beta},$$

式中

$$\delta_{\alpha\beta} = \begin{cases} 1, & \alpha = \beta \\ 0, & \alpha \neq \beta \end{cases}$$

是克罗内克的对称符号，或者 δ 符号。

这样一来，

$$\mathbf{A} \cdot \mathbf{B} = \sum_{\alpha=x,y,z} \sum_{\beta=x,y,z} A_\alpha B_\beta \delta_{\alpha\beta}. \quad (2.2)$$

通常将按两次重复脚标求和的程序称为褶积。这样一来，矢量 \mathbf{A} 和 \mathbf{B} 的标量积可以写为这些矢量的分量与克罗内克 δ 符号的褶积的形式。

矢量 \mathbf{A} 和 \mathbf{B} 的矢量积可以用类似的方式表示出来。因为对每一个自变量这种运算是线性的，所以，

$$\mathbf{A} \times \mathbf{B} = \sum_{\alpha=x,y,z} \sum_{\beta=x,y,z} A_\alpha B_\beta \mathbf{d}_\alpha \times \mathbf{d}_\beta.$$

由于矢量 \mathbf{d}_x 、 \mathbf{d}_y 、 \mathbf{d}_z 的正交性，

$$\mathbf{d}_\alpha \times \mathbf{d}_\beta = \sum_{\gamma=x,y,z} \epsilon_{\alpha\beta\gamma} \mathbf{d}_\gamma,$$

式中 $\epsilon_{\alpha\beta\gamma}$ 是克罗内克的反对称符号，或称 ϵ 符号。

在脚标不相同的情况下，

$$\epsilon_{xyz} = \epsilon_{zyx} = \epsilon_{yxz} = 1;$$

$$\epsilon_{yzx} = \epsilon_{zyx} = \epsilon_{xzy} = -1.$$

如果随便那两个脚标相同，则 $\epsilon_{\alpha\beta\gamma}$ 的值等于零（例如， $\epsilon_{xxx} = 0$ ）。我们注意到，在克罗内克的 δ 符号与 ϵ 符号之间存在关系

$$\sum_{\zeta=x,y,z} \epsilon_{\alpha\zeta\beta} \epsilon_{\beta\zeta\gamma} = \delta_{\alpha\gamma} \delta_{\beta\gamma} - \delta_{\alpha\beta} \delta_{\gamma\gamma}. \quad (2.3)$$

借助于 ϵ 符号，可以将矢量的矢量积写成形式：

$$\mathbf{A} \times \mathbf{B} = \sum_{\alpha=x,y,z} \sum_{\beta=x,y,z} \sum_{\gamma=x,y,z} \mathbf{A}_\alpha \mathbf{B}_\beta \epsilon_{\alpha\beta\gamma} \mathbf{d}_\gamma. \quad (2.4)$$

矢量 \mathbf{A} 和 \mathbf{B} 的矢量积是这些矢量的分量与克罗内克 ϵ 符号和笛卡尔基的单位矢 \mathbf{d}_γ 之间的褶积。

现在我们来研究三个矢量 \mathbf{A} 、 \mathbf{B} 和 \mathbf{C} 的混合积：

$$\begin{aligned} \mathbf{ABC} &= \mathbf{A} \cdot [\mathbf{B} \times \mathbf{C}] = [\mathbf{A} \times \mathbf{B}] \cdot \mathbf{C} \\ &= \sum_{\alpha=x,y,z} \sum_{\beta=x,y,z} \sum_{\gamma=x,y,z} A_\alpha B_\beta C_\gamma \mathbf{d}_\alpha \cdot [\mathbf{d}_\beta \times \mathbf{d}_\gamma], \end{aligned}$$

其中

$$\mathbf{d}_\alpha \cdot [\mathbf{d}_\beta \times \mathbf{d}_\gamma] = \sum_{\xi=x,y,z} \delta_{\alpha\xi} \epsilon_{\xi\beta\gamma} = \epsilon_{\alpha\beta\gamma}.$$

因而，

$$\mathbf{ABC} = \sum_{\alpha=x,y,z} \sum_{\beta=x,y,z} \sum_{\gamma=x,y,z} A_\alpha B_\beta C_\gamma \epsilon_{\alpha\beta\gamma}. \quad (2.5)$$

考虑到(2.3)、(2.4)式后，矢量 \mathbf{A} 、 \mathbf{B} 和 \mathbf{C} 的二重矢量积可以写成这样：

$$\begin{aligned} \mathbf{A} \times [\mathbf{B} \times \mathbf{C}] &= \sum_{\alpha=x,y,z} \sum_{\beta=x,y,z} \sum_{\gamma=x,y,z} \sum_{\zeta=x,y,z} \sum_{\eta=x,y,z} \\ &\times A_\alpha B_\beta C_\gamma \epsilon_{\alpha\beta\gamma} \epsilon_{\beta\gamma\zeta} \mathbf{d}_\eta = \sum_{\alpha=x,y,z} \sum_{\beta=x,y,z} \sum_{\gamma=x,y,z} \\ &\times A_\alpha B_\beta C_\gamma (\delta_{\alpha\gamma} \mathbf{d}_\beta - \delta_{\alpha\beta} \mathbf{d}_\gamma). \quad (2.6) \end{aligned}$$

在上面所有导出的公式中，求和是按照两次重复脚标进行的。如果约定两次重复的脚标指出按照这个脚标求和的必要性，那么我们就可以省略连加号。这样的规则称为求和约定。下面我们将使用这个约定，同时认为，用希腊字母 α 、 β 、 γ 、……表示的脚标代替 x 、 y 、 z 值。运用求和约定之后，可以把公式(2.2)、(2.4)、(2.5)和(2.6)重新写成以下形式：

$$\mathbf{A} \cdot \mathbf{B} = A_\alpha B_\beta \delta_{\alpha\beta},$$

$$\mathbf{A} \times \mathbf{B} = A_\alpha B_\beta \epsilon_{\alpha\beta\gamma} \mathbf{d}_\gamma,$$

$$\begin{aligned}\mathbf{ABC} &= A_\alpha B_\beta C_\gamma \epsilon_{\alpha\beta\gamma}; \\ \mathbf{A} \times [\mathbf{B} \times \mathbf{C}] &= A_\alpha B_\beta C_\gamma \epsilon_{\alpha\beta\gamma} \epsilon_{\beta\gamma\zeta} \mathbf{d}_\zeta \\ &= A_\alpha B_\beta C_\gamma (\delta_{\alpha\gamma} \mathbf{d}_\beta - \delta_{\alpha\beta} \mathbf{d}_\gamma); \\ \alpha, \beta, \gamma, \zeta, \eta &= x, y, z.\end{aligned}\tag{2.7}$$

为了表示标量场 W 和矢量场 \mathbf{A} 的空间导数，现在我们应用矩阵符号：

$$\begin{aligned}\text{grad} W &= W, \alpha \mathbf{d}_\alpha; \\ \text{div } \mathbf{A} &= A_{\alpha,\beta} \delta_{\alpha\beta}; \\ \text{rot } \mathbf{A} &= A_{\alpha,\beta} \epsilon_{\gamma\beta\alpha} \mathbf{d}_\gamma; \\ \alpha, \beta, \gamma &= x, y, z.\end{aligned}\tag{2.8}$$

在这里，求和是按照所有两次重复脚标进行的，而在逗号之后的脚标表示对被这个脚标标记的变数进行微分：

$$W, \alpha = \frac{\partial W}{\partial \alpha}; \quad A_{\alpha,\beta} = \frac{\partial A_\alpha}{\partial \beta}.$$

所引入的符号使得能够把场方程组 (1.12) 用下面的方式写出：

$$\begin{aligned}H_{\alpha,\beta} \epsilon_{\gamma\beta\alpha} &= \sigma E_\gamma; \\ E_{\alpha,\beta} \epsilon_{\gamma\beta\alpha} &= i \omega \mu_0 H_\gamma \\ H_{\alpha,\beta} \delta_{\alpha\beta} &= 0; \\ E_{\alpha,\beta} \delta_{\alpha\beta} &= 0; \\ \alpha, \beta, \gamma &= x, y, z.\end{aligned}\tag{2.9}$$

第二章 电磁场中的 薄层和导电薄膜

§ 3 薄的非均匀层

在进行地电探测时，我们研究深入地穿透到地球内部的低频电磁变化。在这样的低频场中，电磁波的波长比沉积表层和地壳的厚度大得多。所以，在地电学的许多问题中，我们可以采用把地球上层认为是薄层的模型。由于 C. M. 沙因曼和 A. T. 普赖斯 (Price) 的工作，这样的模型获得了发展。薄层的普遍理论为 B. И. 德米特里耶夫所建立 [36]。薄层的采用有可能简化地电学的数学工具（减少问题的维数，把矢量问题转化为标量问题）。

在图 2 上表示出了这样一个模型，在该模型中，电导率为 $\sigma(x, y)$ 和厚度为 d 的层被平面 $\Gamma^-(z=0)$ 和 $\Gamma^+(z=d)$ 所限定。这一模型由分布在层外的外部电流所激发。

假设 $d \ll \lambda$ ，这里 λ 是按以下公式计算的电磁波的波长：

$$\lambda(x, y) = 2\pi\sqrt{2} / \sqrt{\omega\mu_0\sigma(x, y)}.$$

我们将认可， σ 是水平坐标 x, y 的解析函数，并且将求得层的上界和下界的电磁场之间的关系。

电磁场通过非均匀层的解析延拓

实质上，所说的是变化电磁场从平面 $z=0$ 到平面 $z=d$ 上的解析延拓。如果电磁场为坐标 x, y, z 的解析函数，问题的这种提法是可能的。我们将确信这是对的。在层的内部，电磁场满足方程

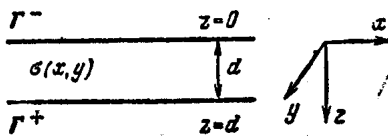


图 2 薄的非均匀层模型

式：

$$\begin{aligned}\operatorname{rot} \mathbf{H} &= \sigma \mathbf{E}, \\ \operatorname{rot} \mathbf{E} &= i\omega \mu_0 \mathbf{H}\end{aligned}\quad (3.1)$$

由此得

$$\Delta \mathbf{H} - \operatorname{rot} \mathbf{H} \times \frac{\operatorname{grad} \sigma}{\sigma} + k^2 \mathbf{H} = 0, \quad (3.2)$$

式中

$$k = \sqrt{i\omega \mu_0 \sigma}; \quad R_c k > 0.$$

方程式 (3.2) 乃是带有解析系数的椭圆型微分方程。从微分方程的普遍理论知道，坐标 x 、 y 、 z 的解析函数是这种方程式的解。这样一来，磁场在层内的解析性得到证明。关于电场可以作同样的讨论，而根据 (3.1) 式，该电场可以通过磁场来表示。

矢量函数 \mathbf{H} 和 \mathbf{E} 的解析性使得能够用泰勒级数将它们沿 z 轴延拓。仿效 B. H. 德米特里耶夫的作法 [36]，我们将写成

$$\mathbf{H}(z) = \mathbf{H}(0) + \sum_{p=1}^{\infty} \frac{z^p}{p!} \frac{\partial^p \mathbf{H}(0)}{\partial z^p}, \quad (3.3)$$

式中 $\mathbf{H}(0)$ 是层的上平面内侧上的磁场。

显然，这个级数收敛到 $\mathbf{H}(z)$ ，但是它的收敛半径 $r(0)$ 可以小于层的厚度 d 。假设 $r(0) < (d - \epsilon)$ ，其中 ϵ 是一个任意小的正数。在这种情况下，我们把 $\mathbf{H}(z)$ 延拓到 $z_1 = 0.9 r(0)$ ，然后利用 $\mathbf{H}(z)$ 在点 z_1 处的泰勒级数展开。如果新级数的收敛半径 $r(z_1)$ 同样不可能达到层的下界，即如果 $z_1 + r(z_1) < d - \epsilon$ ，那么应该在点 $z_2 = z_1 + 0.9 r(z_1)$, …… 等等重复这个过程，直到条件

$$z_n + r(z_n) \geq d - \epsilon \quad (3.4)$$

还未满足时为止，式中

$$z_{n+1} = 0.9 \left[r(0) + \sum_{q=1}^n r(z_q) \right].$$

不难证明，总是存在如此大的 n ，在此情况下条件 (3.4) 式被满足。从相反的情况推论，我们采用在任意 n 时 $z_n + r(z_n) <$

$(d-\varepsilon)$ 。在这种情况下，对于在 $n \rightarrow \infty$ 时的 z_n ，我们将获得收敛于极限 $z_\infty \leqslant (d-\varepsilon)$ 的有界单调增长的序列，由此得出结论，正号级数

$$z_\infty = 0.9 \left[r(0) + \sum_{q=1}^n r(z_q) \right]$$

是收敛的，即当 $q \rightarrow \infty$ 时， $r(z_q) \rightarrow 0$ 。但是，这与函数 \mathbf{H} 在层内的解析性条件相矛盾。事实上，点 z_∞ 乃是层的内点，因而在这一点上函数 \mathbf{H} 可能展成具有非零收敛半径 $r(z_\infty)$ 的泰勒级数。所得到的矛盾证明当 n 足够大时条件 (3.4) 可以满足。因为 ε 是一个任意小的数，所以逐渐采取 (3.3) 型展开式就有可能把磁场延拓到随意接近层的下界。

在这种提法中，如同由 (3.3) 式得出结论一样，场的延拓问题归结于确定它的垂直导数。

我们从磁场的水平分量出发，利用方程式 (3.2) 求得分量 H_x 和 H_y 的二阶垂直导数的表达式：

$$\begin{aligned} \frac{\partial^2 H_x}{\partial z^2} &= \left(-k^2 - \Delta_r + \frac{\sigma, y}{\sigma} \frac{\partial}{\partial y} \right) H_x - \frac{\sigma, y}{\sigma} \frac{\partial}{\partial x} H_y, \\ \frac{\partial^2 H_y}{\partial z^2} &= -\frac{\sigma, x}{\sigma} \frac{\partial}{\partial y} H_x + \left(-k^2 - \Delta_r + \frac{\sigma, x}{\sigma} \frac{\partial}{\partial x} \right) H_y, \end{aligned} \quad (3.5)$$

式中

$$\sigma_{,x} = \frac{\partial \sigma}{\partial x}; \quad \sigma_{,y} = \frac{\partial \sigma}{\partial y}; \quad \Delta_r = \frac{\partial^2}{\partial x^2} + \frac{\partial^2}{\partial y^2}.$$

便于把关系式 (3.5) 写成矩阵形式：

$$\frac{\partial^2 \mathbf{H}_r}{\partial z^2} = \hat{D} \mathbf{H}_r, \quad (3.6)$$

式中 \hat{D} 是矩阵微分算子，它只包括场的水平导数和电导率：

$$\hat{D} = \begin{pmatrix} -k^2 - \Delta_r + \frac{\sigma, y}{\sigma} \frac{\partial}{\partial y} & -\frac{\sigma, y}{\sigma} \frac{\partial}{\partial x} \\ -\frac{\sigma, x}{\sigma} \frac{\partial}{\partial y} & -k^2 - \Delta_r + \frac{\sigma, x}{\sigma} \frac{\partial}{\partial x} \end{pmatrix} \quad (3.7)$$

而 \mathbf{H}_r 是由分量 H_x, H_y 所组成的矢量列

$$\mathbf{H}_r = \begin{bmatrix} H_x \\ H_y \end{bmatrix}.$$

因为算子 \hat{D} 不包括依赖于 z 的要素，所以可以求得 \mathbf{H}_r 的高阶导数：

$$\frac{\partial^{2p}}{\partial z^{2p}} \mathbf{H}_r = \hat{D} \frac{\partial^{2p-2}}{\partial z^{2p-2}} \mathbf{H}_r = \underbrace{\hat{D} \cdot \hat{D} \cdots \cdots \hat{D}}_{p \text{ 次}} \mathbf{H}_r = \hat{D}^p \mathbf{H}_r; \quad (3.8)$$

$$\frac{\partial^{2p+1}}{\partial z^{2p+1}} \mathbf{H}_r = \hat{D}^p \frac{\partial \mathbf{H}_r}{\partial z}$$

式中 $\hat{D}^p = \underbrace{\hat{D} \cdot \hat{D} \cdots \hat{D}}_{p \text{ 次}}, p=0, 1, 2, \dots$

现在我们用场的水平导数来表示 $\frac{\partial \mathbf{H}_r}{\partial z}$ ，根据 (3.1) 式，

$$\frac{\partial \mathbf{H}_r}{\partial z} = \begin{bmatrix} \sigma E_y + \frac{\partial H_z}{\partial x} \\ -\sigma E_x + \frac{\partial H_z}{\partial y} \end{bmatrix} = \epsilon \sigma \mathbf{E}_r + \nabla_r H_z, \quad (3.9)$$

式中 $\mathbf{E}_r = \begin{bmatrix} E_x \\ E_y \end{bmatrix}; \epsilon = \begin{bmatrix} 0 & 1 \\ -1 & 0 \end{bmatrix}; \nabla_r = \begin{bmatrix} \frac{\partial}{\partial x} \\ \frac{\partial}{\partial y} \end{bmatrix}.$

把 (3.9) 式代入 (3.8) 式之后，我们得到

$$\frac{\partial^{2p+1}}{\partial z^{2p+1}} \mathbf{H}_r = \hat{D}^p [\epsilon \sigma \mathbf{E}_r + \nabla_r H_z]. \quad (3.10)$$

回到级数 (3.3) 式上来，写成

$$\begin{aligned} \mathbf{H}_r(z) &= \mathbf{H}_r(0) + \sum_{p=0}^{\infty} \frac{z^{2p+1}}{(2p+1)!} \hat{D}^p [\epsilon \sigma \mathbf{E}_r(0) + \nabla_r H_z(0)] \\ &\quad + \sum_{p=1}^{\infty} \frac{z^{2p}}{(2p)!} \hat{D}^p \mathbf{H}_r(0). \end{aligned} \quad (3.11)$$

这样一来，如果在具有已知电导率 $\sigma(x, y)$ 的层的上界上场 \mathbf{E}